

بهره انرژی هدف‌های پوسته‌ای نازک در همچوشی محصور شده لختی

سپیل خوشین فر، عباس قاسمی زاد*

گروه فیزیک، دانشکده علوم، دانشگاه گیلان

چکیده

هزینه انجام آزمایشات همچوشی محصور شده لختی، به طور مستقیم با انرژی صرف شده برای احتراق ساقمه سوخت وابسته است. در این مقاله، با استفاده از یک مدل ساده هیدرودینامیکی، بهره انرژی برای شرایط اولیه مشخص بادست آمده است. نتایج حاصل مبنی بر یک ساختار جعبه‌ای برای فشار و چگالی ناحیه درونی و ساختاری خود - مانا برای ناحیه سرد بیرونی است. سپس، بهره انرژی با تعریف و بازچینش معادلات بر حسب پارامترهای U_{im} , H_{HS} , T_{HS} و α برآورد شده است.

کلید واژه: همچوشی محصور شده لختی، بهره انرژی، هدف پوسته‌ای نازک، ساختار خود - مانا.

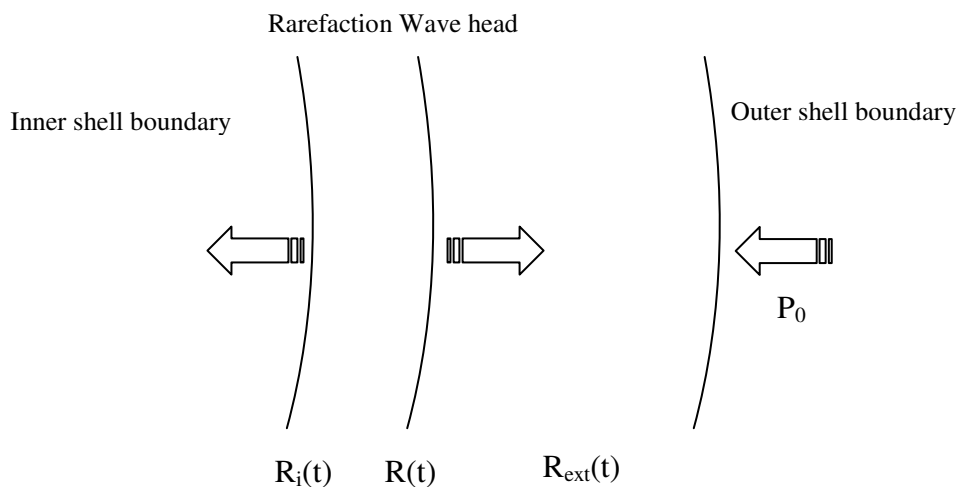
۱- انفجار درونی هدف پوسته‌ای کروی

پیکربندی اصلی ساقمه سوخت به وسیله دو تپ فشاری پله‌ای که خود نماینده دسته پیچیده‌ای از تپ‌ها است تشکیل می‌شود، به این ترتیب که موج نخست از داخل پوسته، گذر کرده و هنگامی که به مرز فصل مشترک پوسته - خلاء رسید، یک موج بازتابی رقیق انعکاس می‌یابد. این موج، هنگامی که ضربه موج دوم در این ناحیه به راه می‌افتد، موجب ایجاد یک شب چگالی مثبت خواهد شد. موج اخیر در سوخت، باعث ایجاد یک توزیع آنتروپی می‌گردد که به صورت شعاعی کاهش می‌یابد [۱]. از آن پس فرض می‌شود که فرایند انفجار درونی به صورت همسانگرد ادامه می‌یابد و توزیع آنتروپی تا هنگام احتراق، ثابت نگه داشته خواهد شد [۲].

اینگونه فرض می‌شود که پیش - تپ اولیه در زمان $t=0$ آغاز می‌شود و در یک بازه زمانی نسبتاً کوتاه به مقدار فشار P_{pre} می‌رسد و تا زمان رها سازی تپ اصلی با فشار P_0 در این مقدار ثابت باقی می‌ماند، در مقابل، تپ اصلی در بازه ای حدود 1 ns به مقدار اصلی می‌رسد و تا پایان انفجار درونی در این مقدار باقی می‌ماند. فشار پیش - تپ و تپ اصلی به ترتیب، در بازه $1-5$ مگا بار و $10-100$ مگا بار تغییر می‌کند. حالت اولیه ساقمه، زمانی در نظر گرفته می‌شود که قطع کننده به طور کامل تبخیر شده و این مطلب تقریب مناسبی برای انفجار درونی است [۳].

اکنون تصویر ساده‌ای از شکل گیری پیکربندی هدف در طول زمان هدایت تپ خارجی ارائه می‌کنیم. هنگامی که ضربه موج به مرز پوسته - خلاء می‌رسد، فشار در سراسر درون پوسته P_{pre} است و موج بازتابی

رقیقی ایجاد شده و مرز به سمت مرکز هدف حرکت می کند. اگر سر جبهه این موج بازتابی در هر لحظه t را با $R(t)$ مشخص کنیم و ناحیه درونی $R_i(t) \leq r \leq R(t)$ را تحت تاثیر قرار می دهد که در آن $(t)_i$ شعاع لحظه ای مرز داخلی پوسته است و موجب افزایش چگالی و فشار با افزایش شعاع می گردد. این توزیع شعاعی به کمک انبساط خود - مانای فصل مشترک پوسته - خلاء ایجاد می شود. ناحیه درون $R(t) \leq r \leq R_{ext}(t)$ که در آن $R_{ext}(t)$ شعاع لحظه ای مرز بیرونی پوسته - خلاء است، از موج بازتابی تاثیر پذیر نمی باشد(شکل ۱).



شکل(۱): وضعیت موج ضربه ای اول و دوم در زمان $t > 0$ در برخ عرضی هدف

پس از حرکت موج ضربه ای اصلی، در $R_c = R(t)$ با سر جبهه بازتابی برخورد می نماید. هنگامی که این موج به مرز داخلی پوسته برسد، فشار در سراسر پوسته P_0 خواهد شد و در این هنگام موج بازتابی دوم به سمت عقب انعکاس می یابد. فرآیند های بازتاب و فشرده سازی در زمانهای بعدی ادامه می یابد و فرض می شود که آنتروپی از این پس ثابت بماند. توزیع همسانگرد تر زمانی رخ می دهد که ضربه موج دوم دقیقاً هنگامی شروع به حرکت نماید و به مرز داخلی پوسته برسد که موج بازتابی رقیق اول شروع به حرکت نموده است. در مقابل، بدترین موقعیت هنگامی ایجاد می شود که زمان رها سازی موج دوم مصادف با رسیدن موج بازتابی اول به مرز خارجی پوسته باشد [۴].

۲- پارامترهای احتراقی سوخت فشرده

در یک انفجار درونی بهینه برای رسیدن به بالاترین درجه تراکم، می بایست (۱) ناحیه سردی با آن

آنتروپی ویژه پایین با هدایت کاملاً کنترل شده موج خارجی ایجاد نمود و (۲) در شتابی بی دررو به بالاترین مقدار سرعت انفجار درونی دست یافت. حالت اولیه هدف مطابق با انساط خود - مانای فصل مشترک پوسته - خلاء برای چگالی به صورت زیر داده می شود [۵]:

$$\rho(r) = \rho_0 \left(\frac{r - R_i}{R_0 - R_i} \right)^{\frac{1}{\gamma-1}} \quad (1)$$

که در آن فرض می شود که سوخت گاز ایده آلی با ضریب آنتالپی $\gamma = 5/3$ است. در ضمن فرض می شود که ناحیه مرکزی $r \leq R_{HS}$ گاز ایده آلی با توزیع پله ای فشار و چگالی باشد. برای توصیف حالت اولیه از شش پارامتر زیر استفاده شده است:

$$H_{HS}[\text{kg/m}^2], T_{HS}[\text{KeV}], \chi_{HS}, \alpha, U_{im}[\times 10^7 \text{ m/s}], \mu_{HS}$$

که در آن H_{HS} پارامتر ناحیه داغ، T_{HS} دمای ناحیه داغ بر حسب KeV ، χ_{HS} شعاع کسری ناحیه داغ و به صورت نسبت شعاع ناحیه داغ به شعاع سوخت تعریف می شود، α آنتروپی ویژه (پارامتر آیزنتروپ) که بنا به تعریف نسبت فشار ناحیه سرد به فشار گاز تبهگن می باشد، μ_{HS} نسبت جرم ناحیه داغ به جرم سوخت و U_{im} سرعت انفجار درونی است. بنابراین، پیکربندی اولیه چگالی و فشار هدف را می توان اینگونه بیان نمود:

$$\rho(r) = \begin{cases} \rho_{HS} & 0 < r < \chi_{HS} \\ \rho_0 \left(\frac{\chi - \chi_i}{1 - \chi_i} \right)^{\frac{3}{2}} & \chi_{HS} < r < 1 \end{cases} \quad (2)$$

$$P(r) = \begin{cases} P_{HS} & 0 < r < \chi_{HS} \\ A\alpha \rho_0^{\frac{5}{3}} \left(\frac{\chi - \chi_i}{1 - \chi_i} \right)^{\frac{5}{2}} & \chi_{HS} < r < 1 \end{cases} \quad (3)$$

که ρ_0 چگالی اولیه هدف، P_{HS} فشار ناحیه داغ و ثابت $A = 2.18 \times 10^3 \text{ Pa.m}^5 \text{ Kg}^{-5/3}$ است. به علت پیوستگی فشار در فصل مشترک دو ناحیه، با تساوی قرار دادن مقادیر فشار درست در بالا و زیر مرز $\chi_{HS} = \chi$ داریم:

$$P_{HS} = A\alpha \rho_0 \left(\frac{r - R_i}{R_m - R_i} \right)^{\frac{5}{3}} \quad (4)$$

به علت اینکه انرژی درون سوخت در حال انفجار درونی به نسبت $\chi_{HS} = M_{HS}/M$ است بنابراین در هدفهای پوسته‌ای نازک، کار خارجی انجام شده نیز دارای همین نسبت است، لذا این امر کمک می‌کند تا بتوان مقدار χ_{HS} را محاسبه نمود:

$$\chi_i = \frac{\chi_{HS} - \mu_{HS}^{2/5}}{1 - \mu_{HS}^{2/5}} \quad (5)$$

که در آن μ نسبت جرم ناحیه داغ به سوخت است. بنابراین به کمک پارامتر بندی بالا، اکنون روابط مربوط به جرم و انرژی سوخت متراکم را بدست می‌آوریم:

$$M_f = \int_0^{R_m} \rho(r) dV = 4\pi R_m^3 \left(\frac{\rho_{HS} \chi_{HS}^3}{3} + \frac{\rho_0}{(1-\chi_i)^{3/2}} \{F_M(1) - F_M(\chi_{HS})\} \right) \quad (6)$$

$$E_f = \frac{3}{2} \int_0^{R_m} P(r) dV = 6\pi R_m^3 \left(\frac{K\rho_{HS} T_{HS} \chi_{HS}^2}{3} + \frac{A\alpha \rho_0^{5/3}}{(1-\chi_i)^{5/2}} \{F_E(1) - F_E(\chi_{HS})\} \right) \quad (7)$$

که در آن (χ) و $F_M(\chi)$ توابع جبری بر حسب شعاع کسری ناحیه داغ هستند. با حل معادله توازن انرژی جنبشی، می‌توان معادله‌ای وابسته به سرعت برای چگالی اولیه محاسبه نمود:

$$\rho_0 = \left(\frac{(1-\chi_i)}{3A\alpha} \frac{F_M(1) - F_M(\chi_{HS})}{F_E(1) - F_E(\chi_{HS})} \right)^{3/2} U_{im}^3 \quad (8)$$

در گام آخر، اگر معادلات (۴)، (۵) و (۸) را در روابط جرم و انرژی سوخت قرار دهیم، در نهایت روابط جبری نسبتاً پیچیده‌ای را که صرفاً بر حسب شش کمیت احتراقی معرفی شده بدست خواهیم آورد.

۳- بهره انرژی و منحنی بهره حدى

مشکل اصلی در سهولت دستیابی به همچوشی محصور شده لختی (ICF) رسیدن به بهره انرژی G بالا برای کاربرد آن در مقیاس اقتصادی است [۶] :

$$G = \frac{E_{TN}}{E_B} \quad (9)$$

که در آن E_{TN} انرژی گرما هسته‌ای آزاد شده خروجی و E_B انرژی هزینه شده اولیه راه انداز است. گام بعدی در تحقیقات ICF پیش‌بینی بهره انرژی مبتنی بر محاسبات شبیه سازی عددی پیچیده است که با دقت بالایی بر تجارب آزمایشگاهی منطبق است [۳]. اما در این راستا، محاسبات تحلیلی یا نیمه-تحلیلی دانشمندان با وجود عدم تطابق دقیق با آزمایش، موجب درک عمیق تری از پدیده‌های فیزیکی دخیل در مسئله و شفاف کردن چهره معادلات قرار گرفته در پس محاسبات عددی خواهد شد. رابطه (۹) را می‌توان به شکل زیر نوشت:

$$G = \epsilon_{DT} f_B \frac{M_f}{E_f} \quad (10)$$

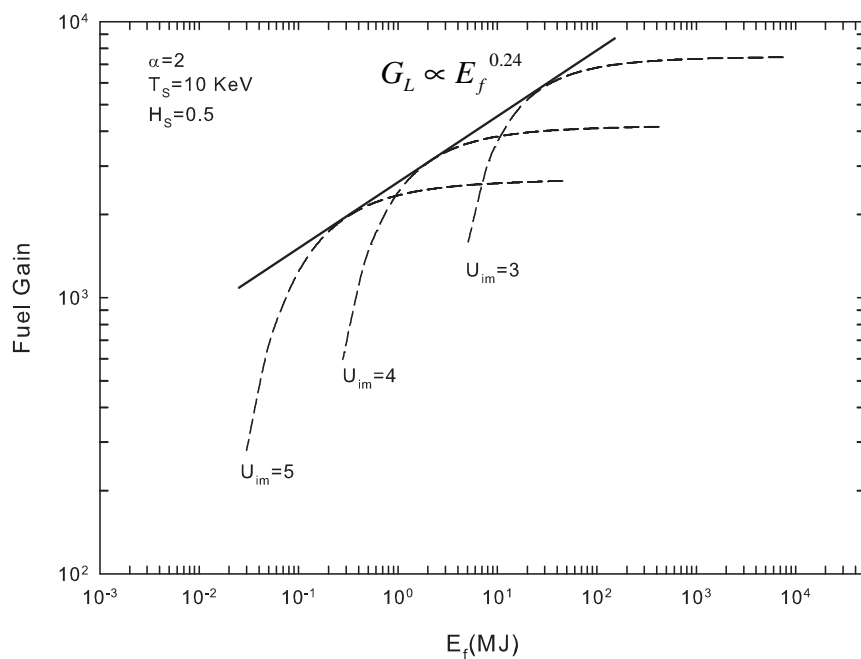
که در آن $\epsilon_{DT} = 3.4 \times 10^5 \text{ MJ/g}$ و f_B کسر مصرف سوخت است. پیش از تعریف کسر مصرف، ابتدا پارامتر محصور شدگی سوخت سرد H_C را مطابق زیر معرفی می‌کنیم:

$$H_C = \int_{R_{HS}}^{R_m} \rho(r) dr = \frac{2\rho_0 R_m}{5(1-\chi_i)^{3/2}} \left((1-\chi_i)^{5/2} - (\chi_{HS} - \chi_i)^{5/2} \right) \quad (11)$$

بنابراین کسر مصرف با صرف نظر از $(H_C \gg H_{HS})$ به صورت زیر است:

$$f_B = \frac{H_C}{H_C + 7.0} \quad (12)$$

اکنون برای بازه تغییرات شعاع کسری $0/2^0$ تا $0/8^0$ و مقادیر ثابت پارامتر آیزنتروپ، α ، دمای ناحیه داغ، پارامتر ناحیه داغ و $U_{im} = 0/001 \mu\text{m}$ ، خانواده منحنی‌های بهره انرژی برای سه مقدار سرعت انفجار درونی $3, 4$ و 5 محاسبه و ترسیم شده است (شکل ۲).



شکل (۲): خانواده منحنی‌های بهره انرژی بر حسب پارامترهای احترافي

پوش منحنی‌های بهره به ازای سرعت‌های انفجار درونی متفاوت منحنی بهره حدی، G_L ، نامیده می‌شود. با مقایسه نتایج بدست آمده در چارچوب مدل همفشار متناظر [۷]، در می‌یابیم که معرفی توزیع خود-مانا برای

ناحیه بیرونی سوخت موجب تغییر شیب منحنی حدی بهره از $0/32$ به $0/24$ و در نتیجه چند گام نزدیک شدن به واقعیت می‌گردد.

۴- بحث و نتیجه گیری

در این مقاله با گذر از مفاهیم در برگرفته چارچوب استاندارد همفشار و با استفاده از توزیع خود - مانای چگالی و فشار ناحیه سرد بیرونی، بهره انرژی و منحنی بهره حدی محاسبه و تغییر شیب منحنی بهره حدی در نتیجه اعمال توزیع واقعی تر چگالی و فشار ناحیه سرد نشان داده شد.

۵- مراجع

- [1] J. Meyer-Ter-Vehn, C. Schalk, *Z. Naturforsch*, vol. 37a, 1982, pp. 955-969.
- [2] A.R. Piriz, *Physics of Fluids*, **B 1**, 1989, pp. 1477-1482.
- [3] A.R. Piriz, *Plasma Physics and Controlled Nuclear Fusion*, vol. 33, No.5, 1991, pp. 531-538.
- [4] N.Metzler, J. Meyer-Ter-Vehn, *Laser Part. Beams*, Vol. 2, 1984, pp.27.
- [5] M.M. Basko, J. Meyer-Ter-Vehn, *Physical Review Letters*, vol.88, No.24, 2002, pp. 244502
- [6] R.J. Mason, R.L. Morse, *Phys. Fluids*, Vol. 18, 1975, pp.814.
- [7] A. Ghasemizad, S.Khoshbinfar, *Proc. Int. Conf. Nuclear Energy for new Europe '06*, Bled, Slovenia, Sep. 5-8, 2005.